

ODPOWIEDŹ PRZĘKROJU ZESPOŁONEGO NA ZGINANIE UKOŚNE Z SIŁĄ OSIOWĄ

Response of composite sections to oblique
bending with axial load.

Autor: Michał Ziobro

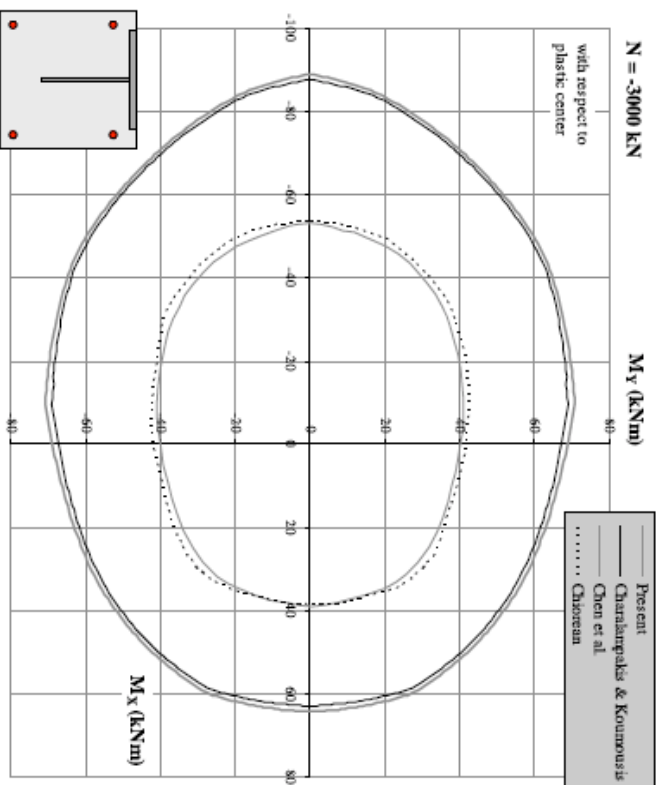
Promotor: dr inż. Adam Zaborski

Podstawy merytoryczne:

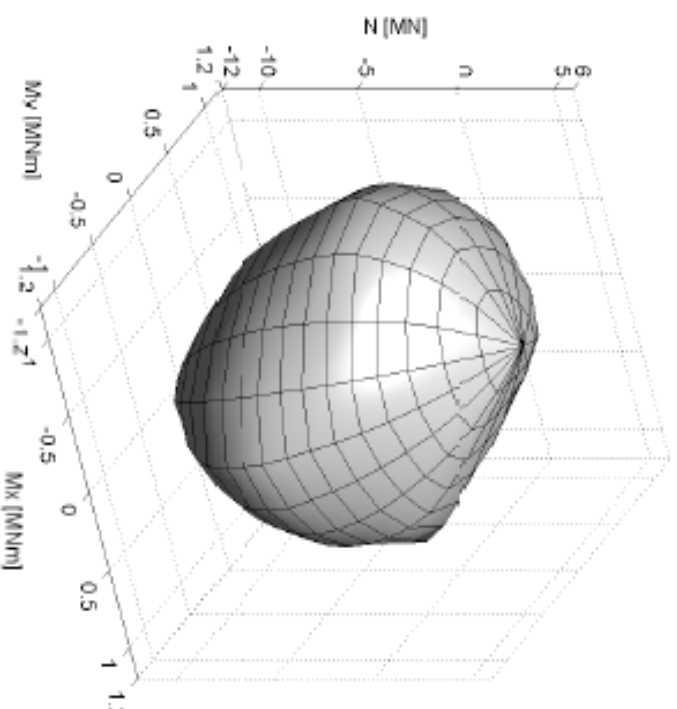
- Vassilis K. Papanikolaou, Analysis of arbitrary composite sections in biaxial bending and axial load, Computers and Structures 98-99 (2012)
- Cosmin G. Chioorean, A Computer Method for Rapid Design Of Composite Steel-concrete Cross-sections, The Open Civil Engineering Journal 01/2013; 7(1):1-17
- Eurokod EC4 (konstrukcje zespolone), PN-EN 1994-1-1
- Eurokod EC2 (konstrukcje żelbetowe), PN-EN 1992-1-1
- Eurokod EC3 (konstrukcje metalowe, PN-EN 1993-1-1
- Rosati L, Marmo F, Serpieri R. Enhanced solution strategies for ultimate strength analysis of composite steel-concrete sections subject to axial force and biaxial bending, Comput Methods Appl Mech Eng 2008; 197; 1033-55
- mathworld.wolfram.com, wikipedia.org, (formuły numeryczne)

Cel Pracy Inżynierskiej

Stworzenie programu umożliwiającego uzyskiwanie krzywych interakcji (powierzchni interakcji) sił przekrojowych dla dowolnego przekroju zespolonego.



Rys.1 Krzywe interakcji [1]



Rys.2 Powierzchnia interakcji [3]

Założenia do obliczeń

Techniczna teoria zginania:

- Jednoosiowy stan naprężenia (pomijane naprężenia styczne)
- Hipoteza płaskich przekrojów (Bernoulliego)

Związki konstytutywne dla betonu i stali wg EC4

Główne etapy obliczeń

- Sterowanie kinematyczne – dla zadanego rozkładu odkształceń w normowo dopuszczalnych granicach
- Określenie rozkładu naprężenia (związek $\sigma - \epsilon$)
- Siły przekrojowe (M_x , M_y , N) drogą całkowania naprężenia w poprzedziatach
(zamiana całek powierzchniowych na całki krzywoliniowe)

1. Środowisko Programowania

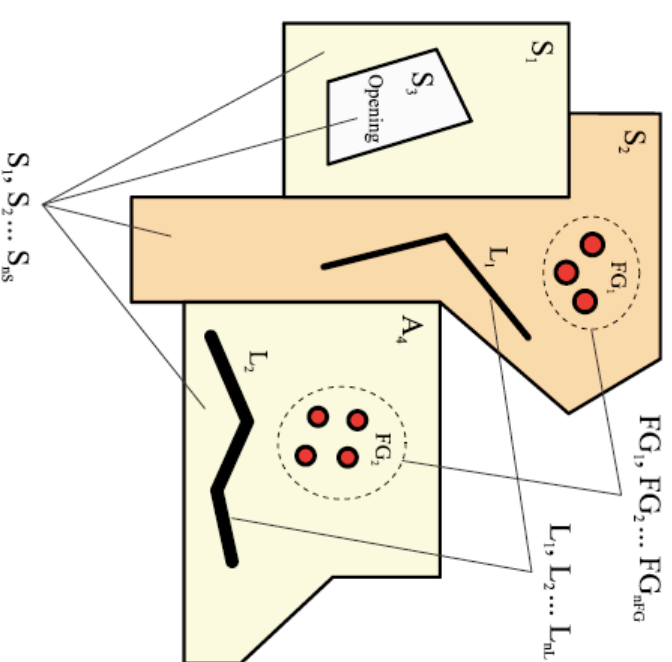
- Język C/C++
- Biblioteka programistyczna QT
- QT użyte głównie w celu stworzenia graficznego interfejsu użytkownika: wprowadzanie przekroju, rysowanie przekroju, rysowanie wykresów krzywych interakcji
- Obiektowy zapis przekroju zespolonego
- Główne obliczenie numeryczne w języku C++

2. Zapis przekroju

3 rodzaje komponentów:

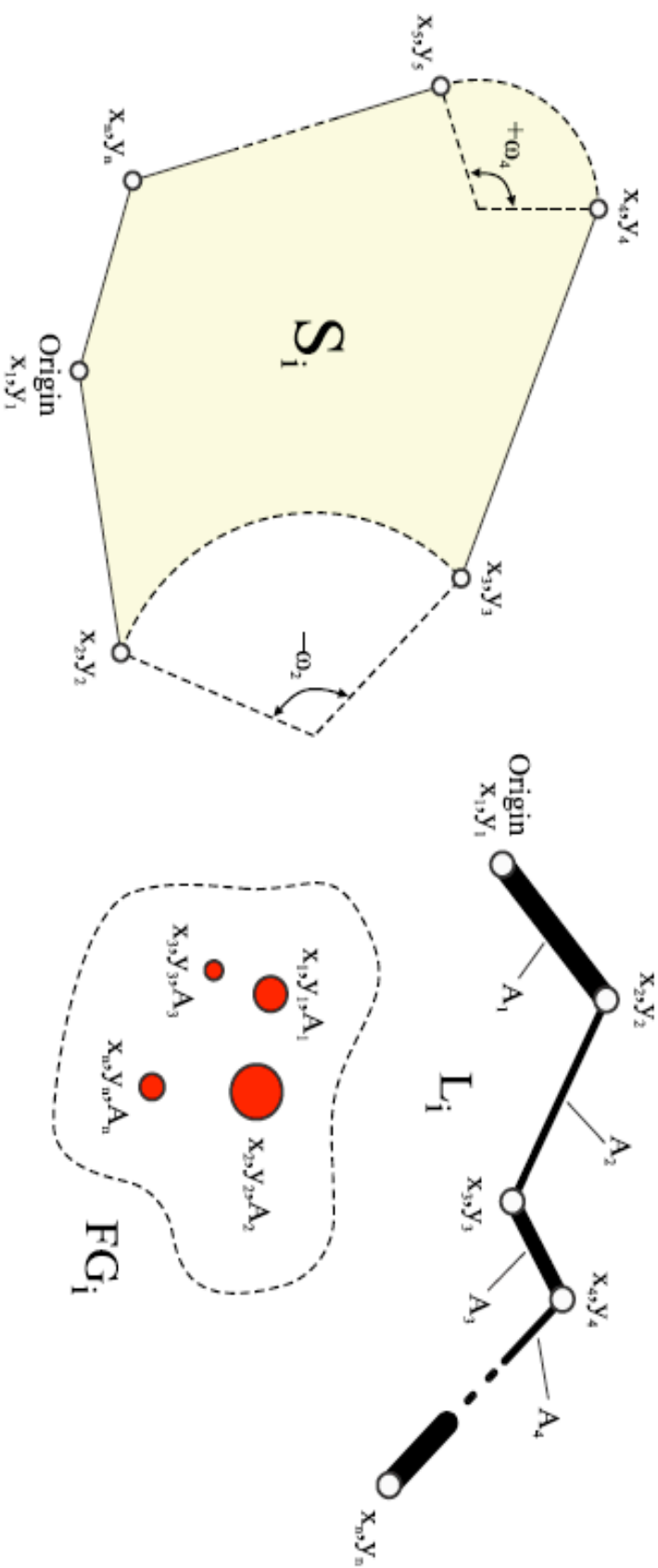
- Powierzchnie (Surface)
- Elementy liniowe (Line)
- Zbrojenie (FiberGroup)

- Dziedziczą po wspólnej klasie Points.



Rys. 3 Definicja komponentów [1]

Zapis numeryczny komponentów



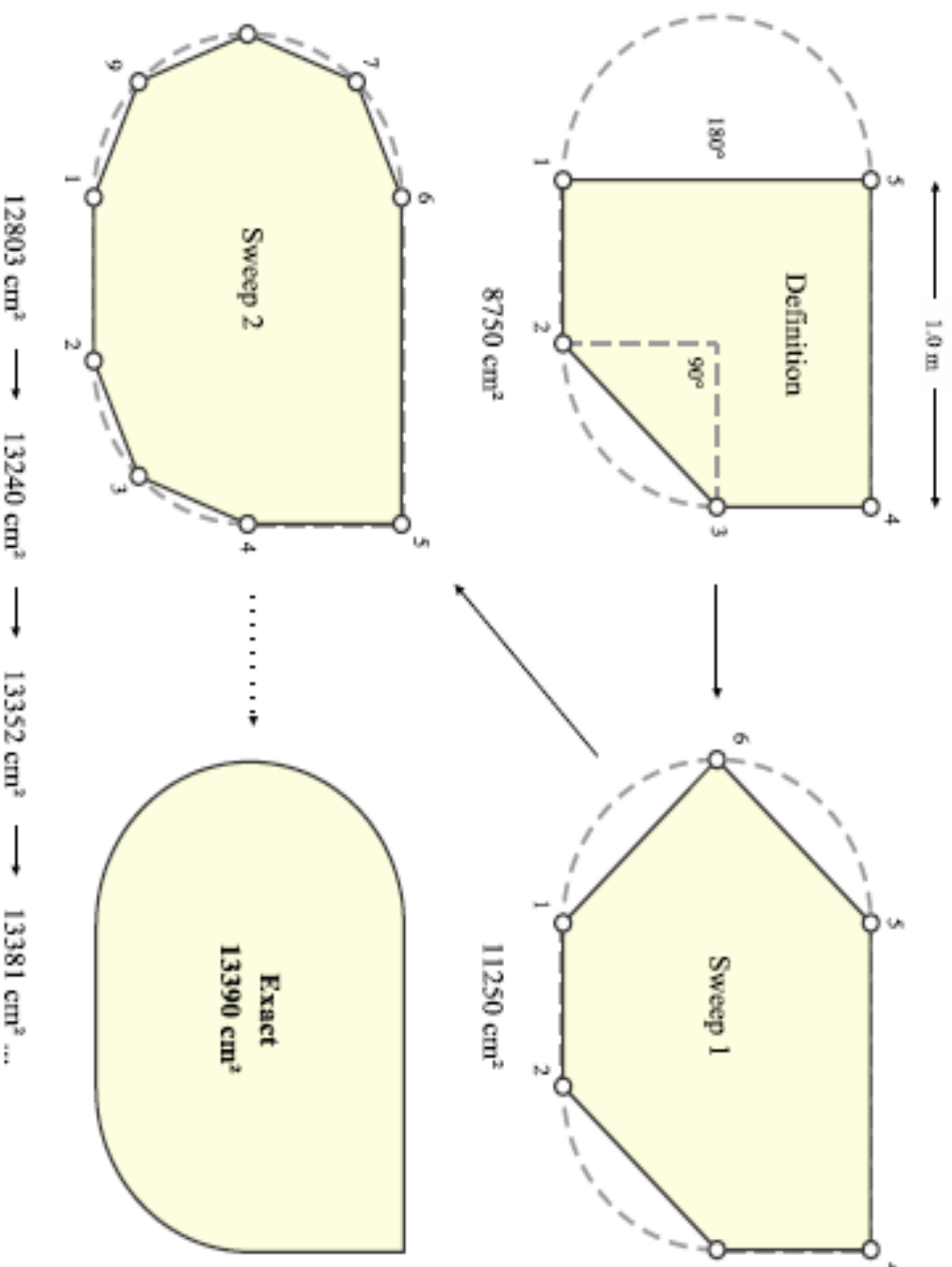
Rys. 4 Sposób zapisu różnych komponentów przekroju [1]

$S_i \rightarrow [(x_1, y_1, \omega_1), (x_2, y_2, \omega_2) \dots (x_n, y_n, \omega_n)]$ Surface

$L_i \rightarrow [(x_1, y_1, A_1), (x_2, y_2, A_2) \dots (x_{n-1}, y_{n-1}, A_{n-1}), (x_n, y_n)]$ Line

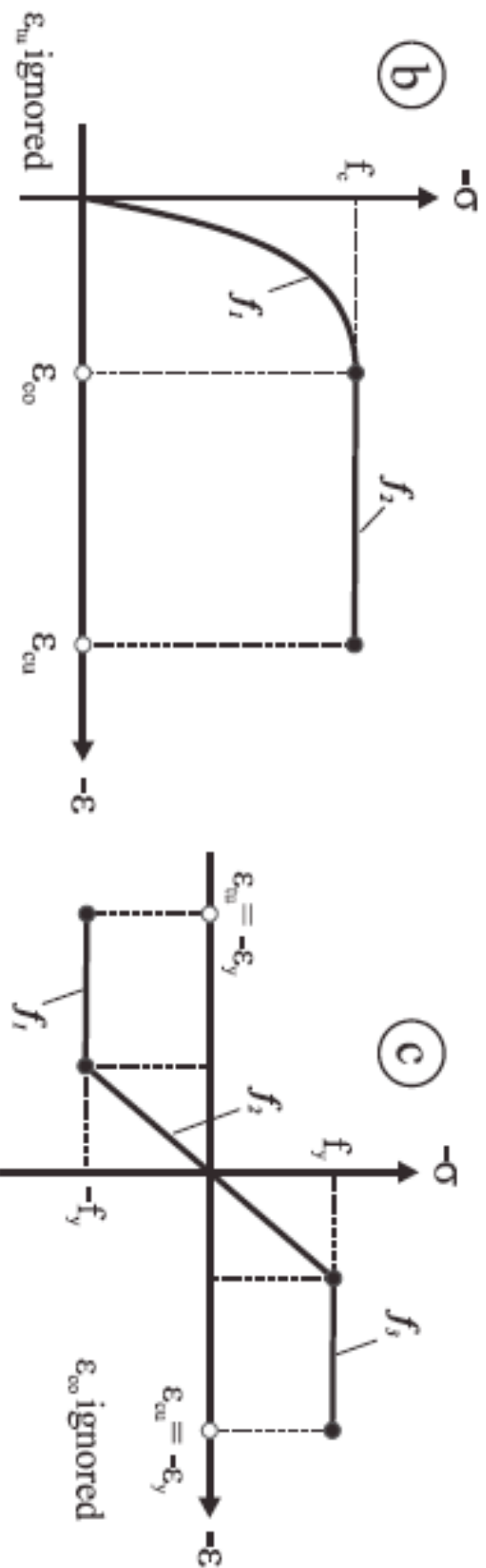
$FG_i \rightarrow [(x_1, y_1, A_1), (x_2, y_2, A_2) \dots (x_n, y_n, A_n)]$ FiberGroup

Aproksymacja powierzchni wielobokiem



Rys. 5 Linearyzacja przekrojów zespolonych [1]

3. Zdefiniowanie materiału

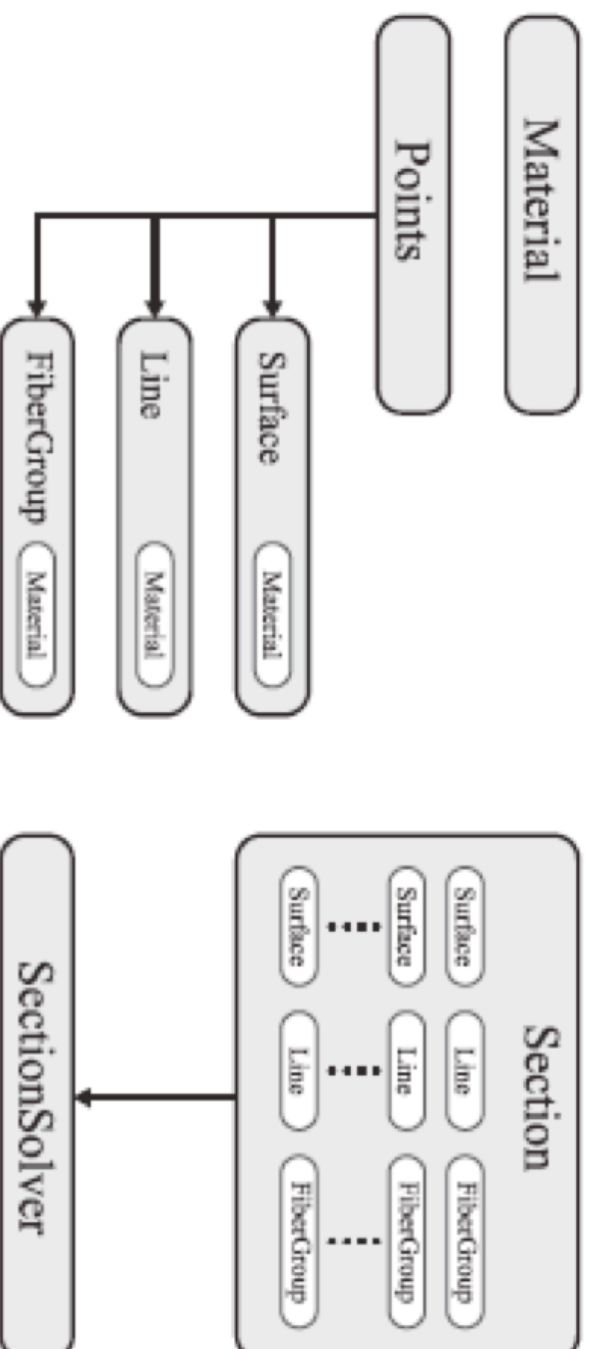


Rys. 6 Związki konstytutywne odcinkowo wielomianowe dla betonu i stali [1]

Ograniczenie do predefiniowanych materiałów:
Beton, Stal konstrukcyjna, Stal zbrojenkowa

Podczas definiowania przekroju można określić materiał każdego komponentu.

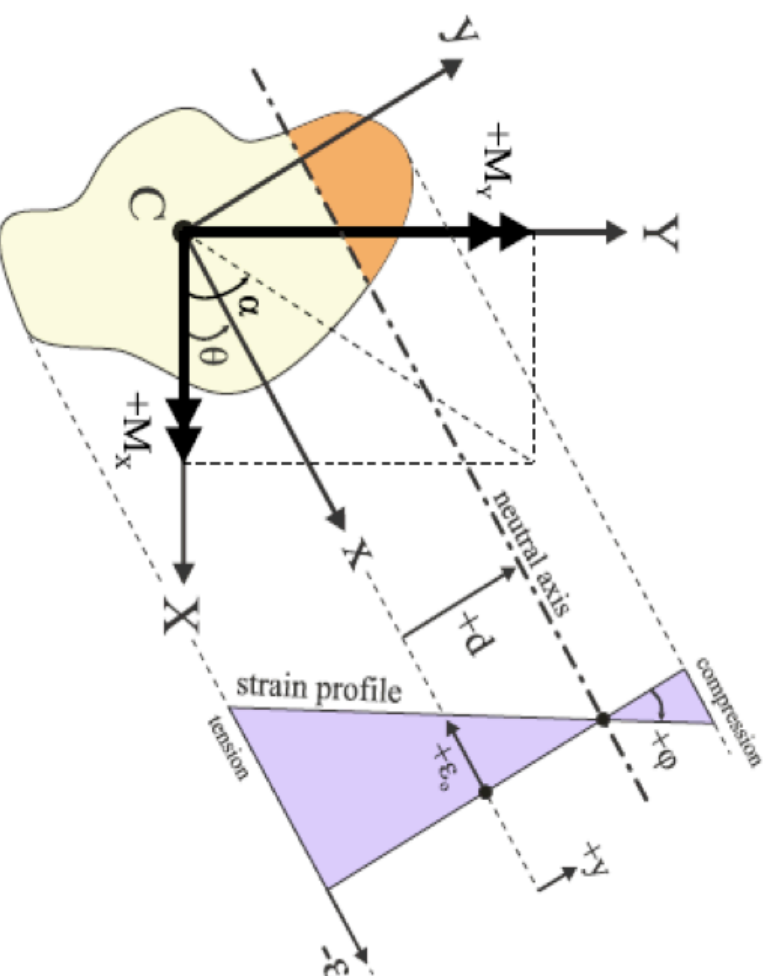
Obiektowy zapis w języku C++



Rys. 7 Obiektowy zapis przekroju w kodzie programmu [1]

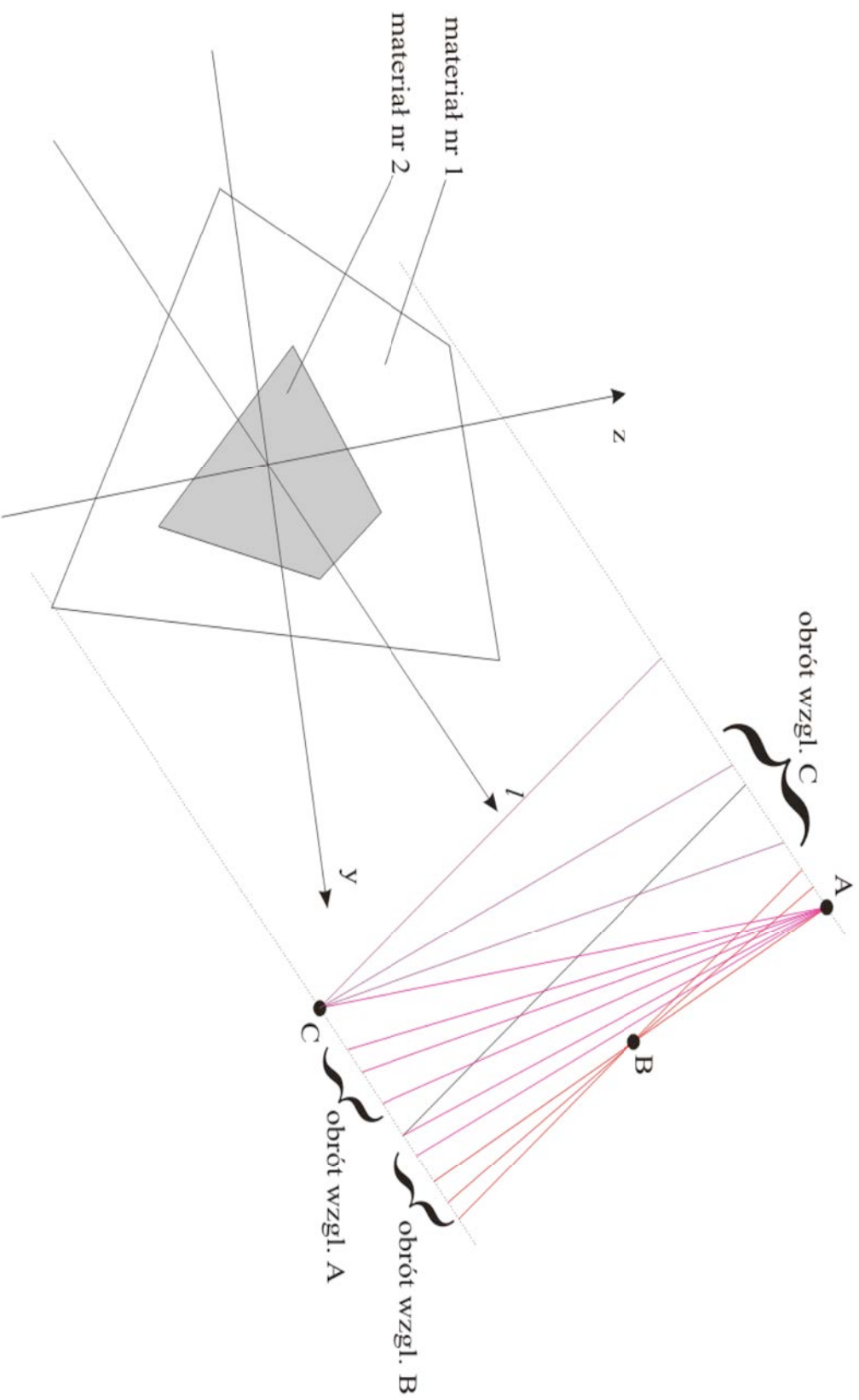
4. Sterowanie odkształceniami

1. Opcja – Sterowanie osią obojętną



Rys. 8 Sterowanie profilem odkształceń [1]

2. Opcja – Sterowanie odkształceniami (w obrębie odkształceń granicznych)



Rys. 9 Sterowanie odkształceniami, opcja wykorzystana w programie

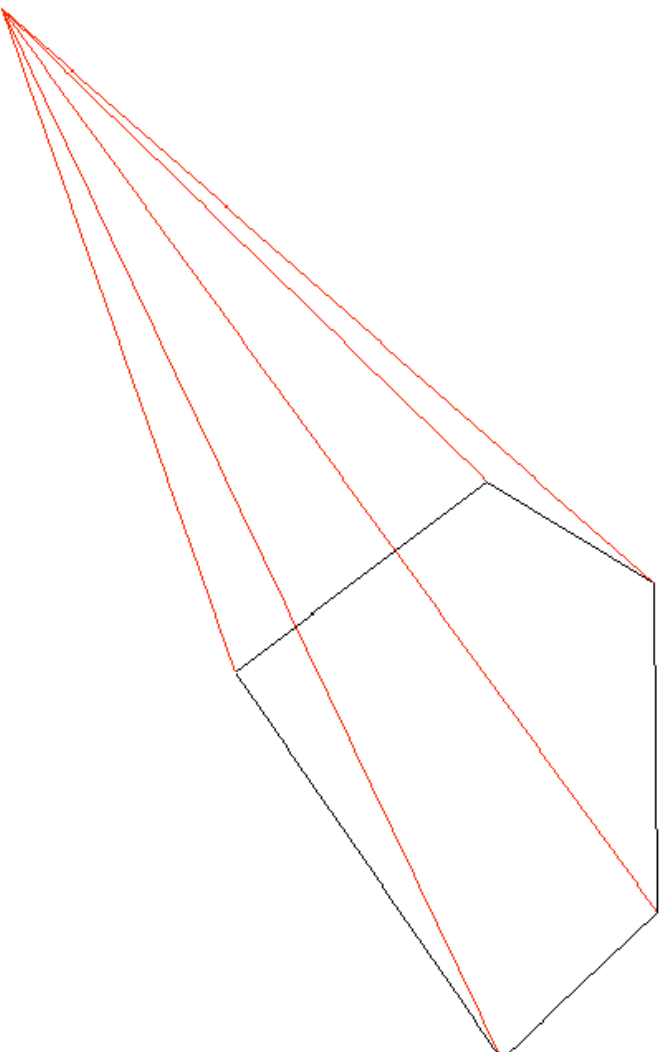
5. Odkształcenia → Naprężenia

- Z poszczególnych profili odkształceń otrzymanych w wyniku sterowania odkształceniami w granicach odkształceń dopuszczalnych na podstawie zależności naprężenie – odkształcenie otrzymujemy naprężenia w podobszarach przekroju zespolonego.
- Oprócz sterowania odkształceniami (iteracja po profilach odkształceń) iteracyjnie obracamy układ lokalny przekroju (obróć profilu odkształceń do około przekroju)

Potrzebne wzory:

- 1) Pole dowolnego wielokąta
- 2) Punkt środkowy łuku
- 3) Momenty statyczne i bezwładności dowolnego wielokąta (Suma momentów trójkątów tworzonych przez wektory wodzące końców poszczególnych boków wielokąta)
- 4) Wyznaczanie prowadzonego środka ciężkości całego przekroju zespolonego
- 5) Transformacje współrzędnych z układu globalnego do układu lokalnego

Momenty statyczne wielokąta



Rys. 10 Charakterystyki geometryczne wielokątów

wielkości są obliczane dla elementów trójkątnych,
na jakie rozbija się przekrój

Przykładowy kod w C++

```
double Surface::getGeometricalCenterX(void)
{
    double x_c = 0;
    double xi, yi, xi_1, yi_1;
    int numOffPoints = this->numberOfPoints();

    for(int i=0; i< numOffPoints; i++) {

        xi = points[i]->getX();
        yi = points[i]->getY();

        if( i+1 < numOffPoints) {
            xi_1 = points[i+1]->getX();
            yi_1 = points[i+1]->getY();
        } else {
            xi_1 = points[0]->getX();
            yi_1 = points[0]->getY();
        }

        x_c +=(xi + xi_1) * (xi*yi_1 - xi_1*yi);
    }

    x_c /= 6* this->calculatePolygonArea();

    return x_c;
}
```


Całkowanie naprężeń

Obliczenie wynikowych sił wewnętrznych przekroju zespolonego, tj. siły osiowej N i momentów M_x , M_y dla zadanego kierunku osi obojętnej (zadanego obrotu układu lokalnego - kąt Θ) oraz profilu odkształceń.

1. Sterowanie kierunkiem osi obojętnej (kątem Θ)
2. Sterowanie odkształceniami dla ustalonego kąta Θ
3. Całkowanie poszczególnych profili odkształceń $\rightarrow (M_x, M_y, N)$

$$R = \sum_{i=1}^{n_S} [\text{sign}(S_i) R_{S,i}] + \sum_{i=1}^{n_L} [\text{sign}(L_i) R_{L,i}] + \sum_{i=1}^{n_{FG}} [\text{sign}(F_{G,i}) R_{FG,i}]$$

Siły przekrojowe R są wynikiem sumowania udziału od poszczególnych komponentów: powierzchni, lini, zbrojenia.

Metoda Kwadratury Gaussa

- Całkowanie komponentów powierzchniowych

$$R_{S,i} = \iint_{S_i} x^r y^s \sigma(y) dx dy \quad (\text{twierdzenie Greena})$$

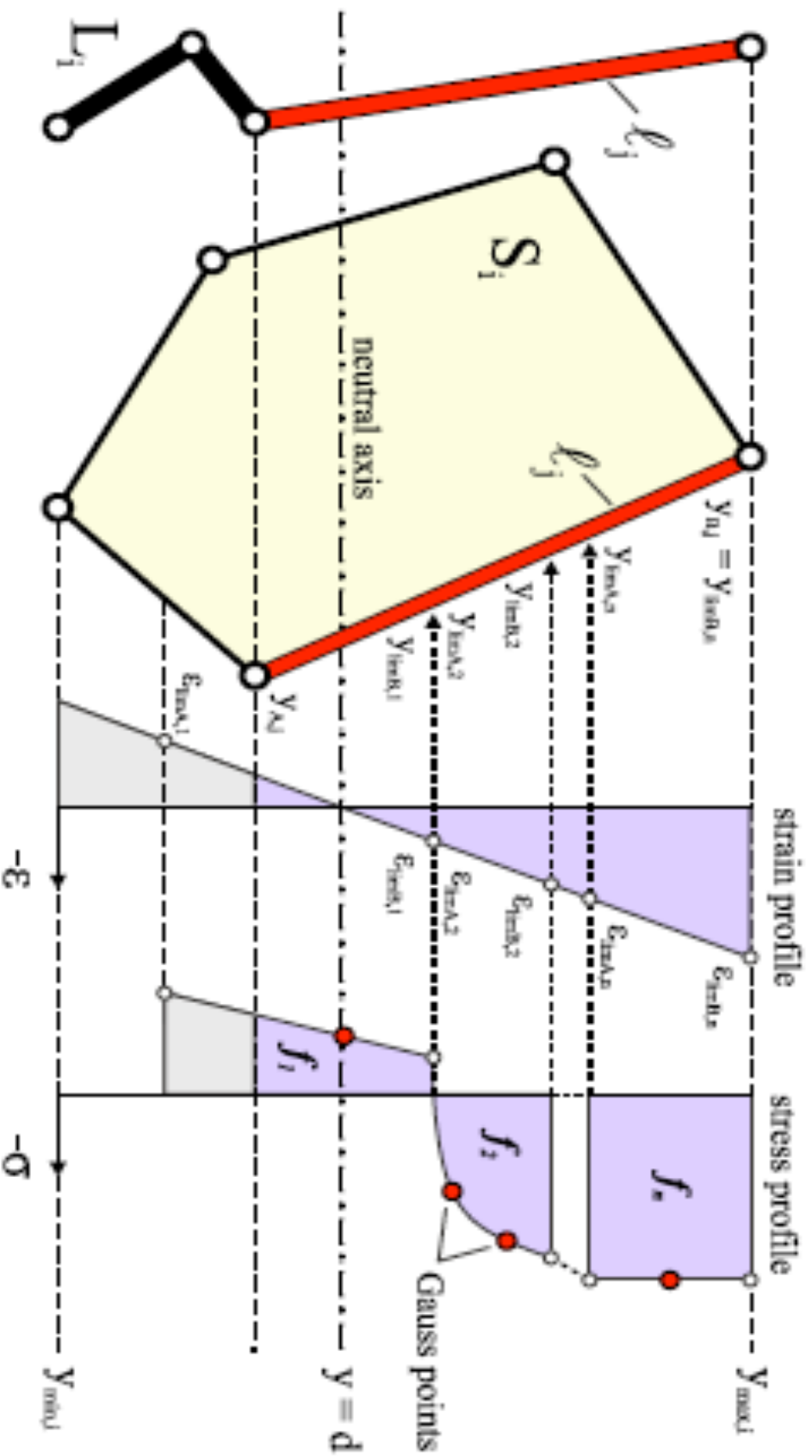
$$\begin{aligned} R_{S,i} &= \frac{1}{r+1} \int_{L_i} \phi x^{r+1} y^s \sigma(y) dy = \frac{1}{r+1} \sum_{j=1}^{n_{L_i}} \left[\int_{\ell_j} \phi x^{r+1} y^s \sigma(y) dy \right] \\ &= \frac{1}{r+1} \sum_{j=1}^{n_{L_i}} I_j \end{aligned}$$

- Całkowanie komponentów liniowych i zbrojenia

$$\begin{aligned} R_{L,i} &= \oint_{L_i} x^r y^s t(y) \sigma(y) dy = \sum_{j=1}^{n_{L_i}} \left[t_j \oint_{\ell_j} \phi x^r y^s \sigma(y) dy \right] = \sum_{j=1}^{n_{L_i}} I_j \\ R_{FG,i} &= \sum_{j=1}^{n_{FG_i}} [A_j x_j^r y_j^s \sigma(\varepsilon_0 - \varphi y_j)] \end{aligned}$$

Ciąłkowanie naprężeń

Odcinkowy charakter funkcji sigma-epsilon



Rys. 11 Mapowanie odkształceń na krawędź wieloboku [1]

Całkowanie krawędzi wielokąta

$$\ell_j \mapsto x = a_j y + b_j$$

$$I_j = \oint_{\gamma_j} (a_j y + b_j)^{r+1} y^s \sigma(y) dy = \oint_{\gamma_j} F_j(y) dy \qquad \mathcal{N}(\varepsilon) = (\varepsilon - \varepsilon_o)/\varphi$$

$$I_j = \oint_{\gamma_j} F_j(y) dy \doteq \sum_{k=1}^{n_f} \left[\frac{1}{2} (y_{\text{lim}B,k} - y_{\text{lim}A,k}) \sum_{m=1}^{n_{G_k}} [w_m F_j(y_m)] \right]$$

$$y_m = \frac{1}{2}(y_{\text{lim}B,k} + y_{\text{lim}A,k}) + \frac{\lambda_m}{2}(y_{\text{lim}B,k} - y_{\text{lim}A,k})$$

$$F_j(y_m) = (a_j y_m + b_j)^{r+1} y_m^s f_k(\varepsilon_o - \varphi y_m)$$

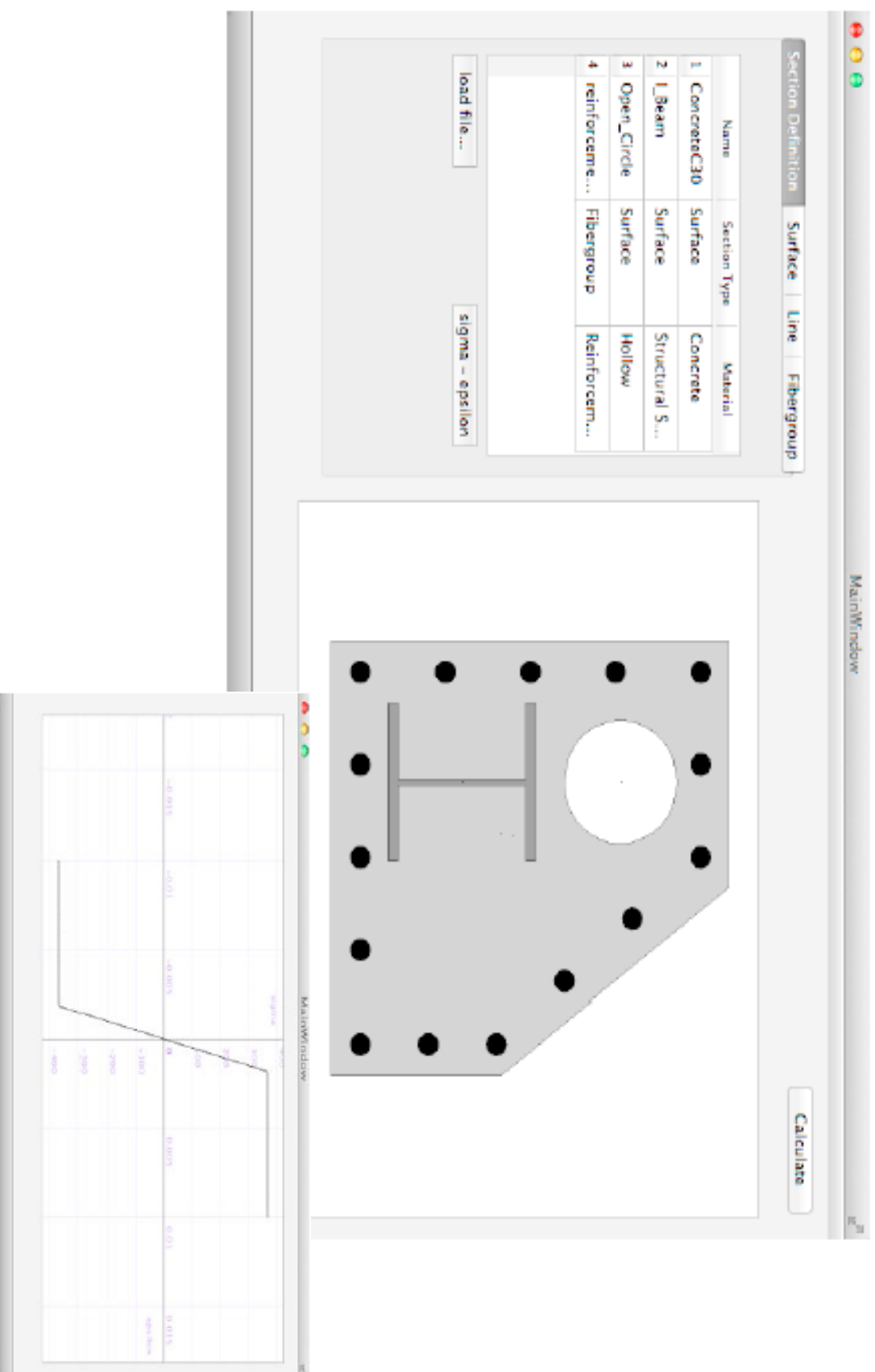
Krzywe i powierzchnie interakcji

- W wyniku całkowania otrzymujemy siły wewnętrzne.
- Siły wewnętrzne otrzymywane dla poszczególnych komponentów sumujemy

(uwzględnienie przecięć powierzchni)

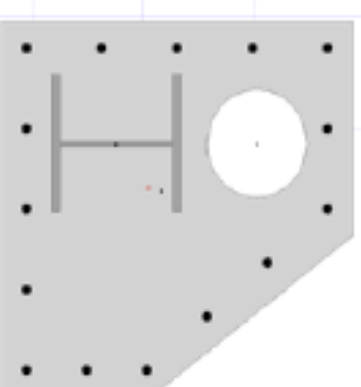
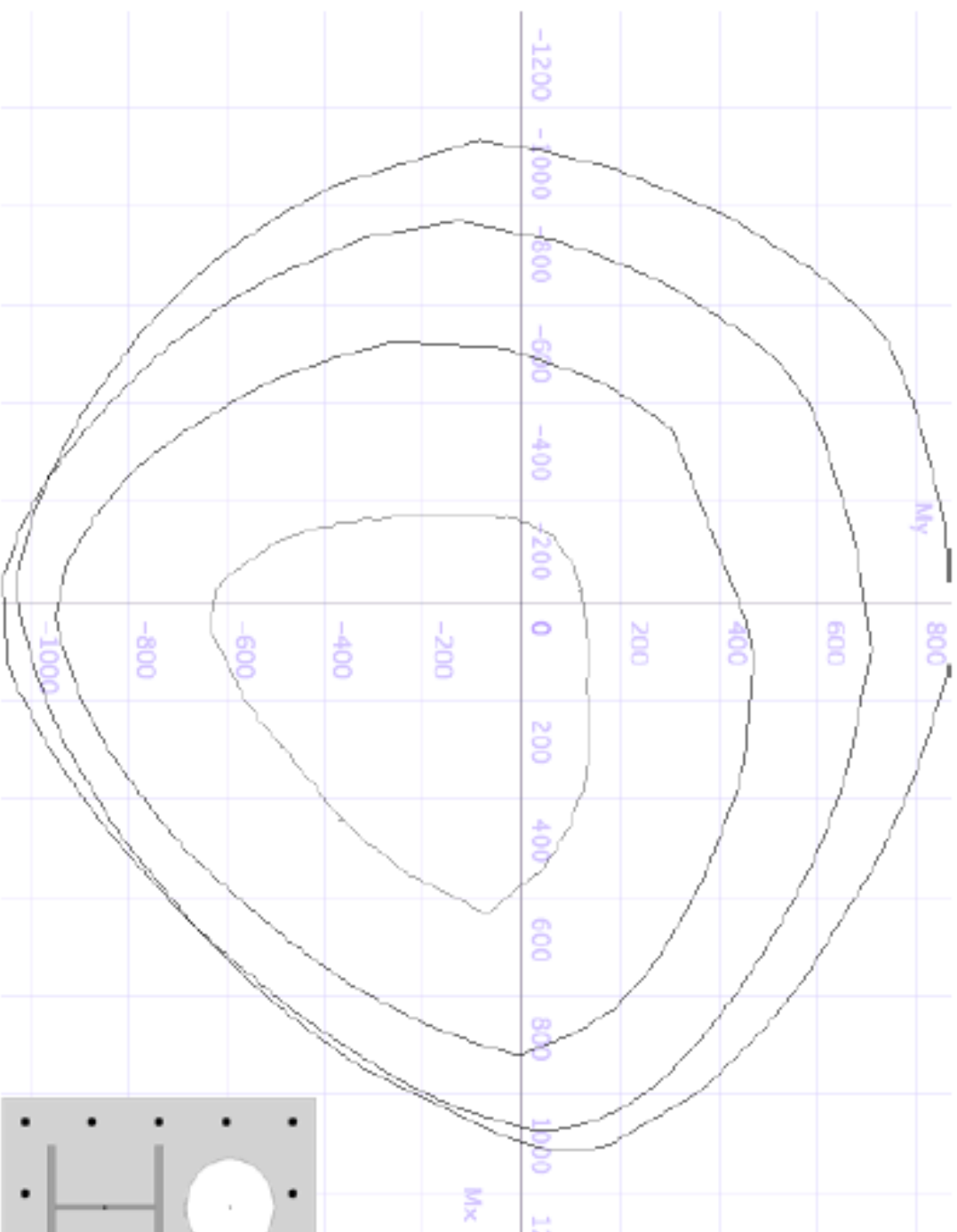
- Ostatecznie otrzymujemy zbiory dopuszczalnych sił (M_x , M_y , N)
- Rysujemy krzywe interakcji przekroju.

Program komputerowy



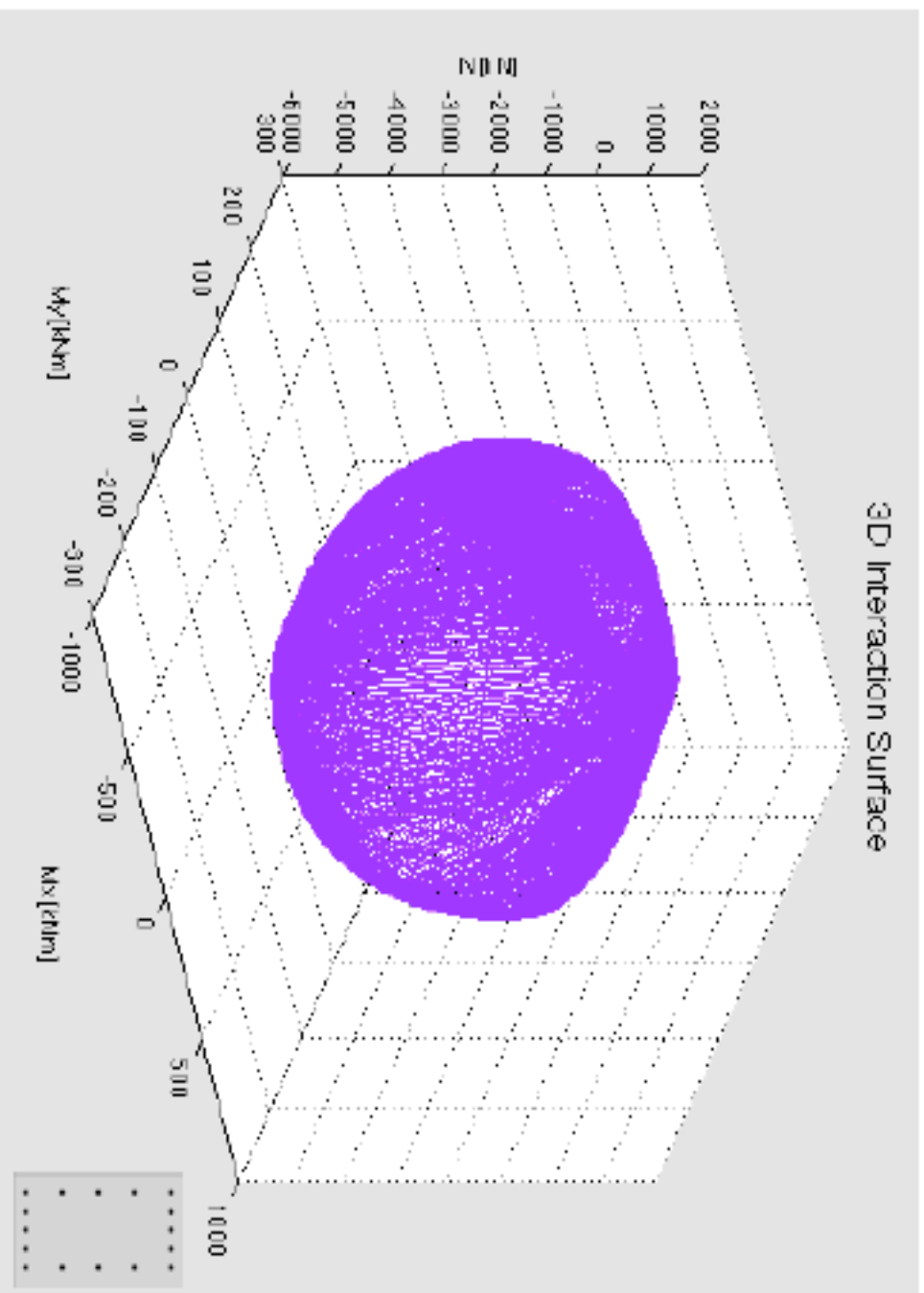
Rys. 12 Okno główne aplikacji oraz okno definicji materialu

Przykładowe krzywe interakcji



Rys. 13 Krzywe interakcji wygenerowane programem dla przekroju Chen et al z [2]

Powierzchnie interakcji (MatLab)



Rys. 13 Powierzchnia interakcji dla przekroju żelbetowego narysowana w MatLab'ie na podstawie wyników z programu

Bibliografia (prezentacja)

- [1] Vassilis K. Papanikolaou, Analysis of arbitrary composite sections in biaxial bending and axial load, Computers and Structures 98-99 (2012)
- [2] Cosmin G. Chiorean, A Computer Method for Rapid Design Of Composite Steel-concrete Cross-sections, The Open Civil Engineering Journal 01/2013; 7(1):1-17
- [3] Rosati L, Marmo F, Serpieri R. Enhanced solution strategies for ultimate strength analysis of composite steel-concrete sections subject to axial force and biaxial bending, Comput Methods Appl Mech Eng 2008; 197: 1033-55
- [4] Eurokod EC4 (konstrukcje zespolone), PN-EN 1994-1-1
- [5] http://en.wikipedia.org/wiki/Gaussian_quadrature
- [6] <http://mathworld.wolfram.com/PolygonArea.html>